

# مدل مقدار سفارش اقتصادی برای کالا<sup>۱</sup>

## فاسدشدنی با در نظر گرفتن هزینه‌ی کاهش مدت تحويل به صورت تابعی از اندازه سفارش

مینا هوی شرق (کارشناس ارشد)

محمدعلی پیرايش<sup>\*</sup> (دانشیار)

گروه مهندسی صنایع، دانشگاه فردوسی مشهد

در این مقاله مدل مقدار سفارش اقتصادی برای کالا<sup>۱</sup> فاسدشدنی مورد بررسی قرار می‌گیرد که در آن «مدت تحويل» را به عنوان متغیر قابل کنترل در نظر گرفته می‌شود؛ به این معنا که با صرف هزینه می‌توان آن را کاهش داد. «مدت تحويل» به عنوان متغیر تصمیم وارد مدل می‌شود و هزینه‌یی با عنوان هزینه کاهش مدت تحويل به هزینه‌های سیستم موجودی می‌افزاید. ساختار هزینه کاهش مدت تحويل به صورت تابعی از اندازه سفارش موجودی می‌افزاید. میزان کاهش مدت تحويل در نظر گرفته می‌شود. از سوی دیگر، بخشی از سفارش کالا<sup>۱</sup> فاسدشدنی در مدت تحويل فاسد شده و از دست می‌رود. لذا می‌توان با کاهش مدت تحويل، هزینه‌ی فاسد شدن و هزینه‌ی خرید این کالاها را کاهش داد. در مدل ارائه شده، برقراری تعادل میان منافع حاصل از کاهش مدت تحويل و افزایش هزینه‌های آن مورد نظر است.

minaheravishargh@yahoo.com  
pirayesh@um.ac.ir

واژگان کلیدی: مدل مقدار سفارش اقتصادی، فاسدشدنی، مدت تحويل متغیر.

### ۱. مقدمه

سفارات تعویق افتاده و نزخ فساد دارای توزیع ویبول سه پارامتری است. در مدل موجودی قطعی با تقاضای متغیر با زمان و کمبود به صورت سفارشات تعویق افتاده<sup>[۷]</sup> نزخ فساد ثابت در نظر گرفته شده است. از جمله پژوهش‌های جامع در زمینه اقلام فسادپذیر، مقاله‌ی باکر و همکاران است<sup>[۸]</sup> که به بررسی ادبیات مرتبط با فسادپذیری از سال ۲۰۰۱ تا ۲۰۱۲ با در نظر گرفتن فرضیاتی همچون تخفیف در قیمت، کمبود پس افت و فروش ازدست‌رفت، تک مخصوصی یا چند مخصوصی بودن و پرداخت‌های معوقه پرداخته‌اند.

در بسیاری از مطالعات انجام‌شده در این زمینه، «مدت تحويل» صرف نظر از این که قطعی است یا احتمالی، غیر قابل کنترل در نظر گرفته شده است. درحالی که در بسیاری از موقعیت‌های واقعی مدت تحويل قابل کنترل است و می‌توان مدت تحويل را با صرف هزینه‌یی اضافی، کاهش داد. نخستین بار لیانو و شیو<sup>[۹]</sup> مدلی ارائه دادند که در آن مقدار سفارش و سطح سفارش مجدد، معلوم است و مدت تحويل تنها متغیر تصمیم در این مدل است. مدل کلی تر نیز ارائه شد<sup>[۱۰]</sup> که در آن، روش لیانو و شیو با افزودن مقدار سفارش به عنوان یک متغیر تصمیم غاییر بافته است.

به باور محققین<sup>[۱۱]</sup> گاهی شکستن مدت تحويل به اجزا و تخمین مدت زمان و هزینه‌ی کاهش هر جزء امری دشوار است. لذا ساختار هزینه کاهشی پیشنهاد شد که به صورت تابع نمایی متفاوت از مدت تحويل است. در مطالعات بعدی<sup>[۱۲]</sup> نیز این نگاه و باور با در نظر گرفتن کمبودها به صورت ترکیبی از سفارشات به تعویق افتاده

امروزه کالاهای فاسدشدنی، طیف وسیعی از محصولات نظیر لبیات، میوه‌ها، سبزیجات، خون، مواد رادیواکتیو و شیمیایی را شامل می‌شود. با توجه به کاربرد گسترده و نقش مهم برخی از این اقلام در زندگی انسان، مطالعه پیرامون سیاست‌های موجودی این اقلام با در نظر گرفتن شرایط دنیای واقعی، امری ضروری است. یکی از شاخص‌ترین پژوهش‌های صورت گرفته در زمینه مدل‌های موجودی اقلام فسادپذیر، مدل موجودی ارائه شده توسط قاره و اشتایدر<sup>[۱۳]</sup> است که در آن نزخ فساد ثابت است. در بررسی این مدل محققین دریافتند که مصرف اقلام فاسدشدنی نسبتاً از تابع توزیع نمایی متفاوت نسبت به زمان پیروی می‌کند.

در مدل مقدار سفارش اقتصادی با تخفیف موقت،<sup>[۱۴]</sup> سفارش بهمنه با بیشینه‌سازی اختلاف بین هزینه‌یی مدل مقدار سفارش اقتصادی معمولی و هزینه‌یی مقدار خاص در دوره‌ی فروش به دست آمده است. در ادامه، مدل موجودی کالاهای فاسدشدنی با نزخ فساد متغیر با توزیع ویبول دو پارامتری<sup>[۱۵]</sup> ارائه شد.

تادیکاما مدل کاورت<sup>[۱۶]</sup> را بدون فرض پس افت و نیز با توزیع گاما برای فساد در نظر گرفت.<sup>[۱۷]</sup> مدل مقدار سفارش اقتصادی<sup>[۱۸]</sup> برای اقلام فسادپذیر با تقاضای متغیر با زمان و کمبود به صورت سفارشات تعویق افتاده توسط چانگ و دای ارائه شد. همچنین در مدل مقدار سفارش اقتصادی<sup>[۱۹]</sup> تقاضاً متغیر با زمان، کمبود به صورت

\* نویسنده مسئول

تاریخ: دریافت ۲۵/۱۱/۱۳۹۵، اصلاحیه ۳/۶، پذیرش ۴/۲۵/۱۳۹۶.

DOI: 10.24200/J65.2018.20088

آن، می‌توان نقش مدت تحويل را بر هریک از هزینه‌های سیستم موجودی تحلیل کرد. مدت تحويل مستقیماً بر هزینه‌های فساد کالا در حین حمل و در نتیجه هزینه‌ی خرید اقلام مازاد بر نیاز که در طول مدت تحويل فاسد شده و در واقع هیچ‌گاه به دست بنگاه نمی‌رسد، تأثیرگذار است. لذا فقدان تحقیقی برای بررسی نقش عنصر مدت تحويل به عنوان متغیری که در فساد اقلام حين مدت تحويل نقش دارد، مشهود است. از این رو مطالعه‌ی حاضر با دخیل کردن مدت تحويل متغیر در مدل سفارش اقتصادی برای کالاهای فاسدشدنی، در صدد تحلیل نقش مدت تحويل بر هزینه‌های سیستم موجودی است.

## ۲. نمادها و مفروضات مسئله

### ۱.۲. مفروضات مسئله

مفروضات در نظر گرفته شده در این مدل عبارت‌اند از:

۱. نرخ تقاضا قطعی و ثابت است؛

۲. مدل برای یک کالای فاسدشدنی آنی ارائه شده است؛

۳. مدت تحويل به عنوان یکی از متغیرهای تصمیم مسئله است؛

۴. نرخ بازپرسازی نامحدود فرض شده است؛

۵. کالاهایی که در طول دوره فاسد می‌شوند، تعویض یا تعمیر نمی‌شوند؛

۶. کمبود مجاز نیست؛

۷. افق برنامه‌ریزی نامحدود است.

همچنین در این مدل، هزینه‌ی کاهش مدت تحويل به صورت تابع قطعی‌ی خطی از میزان کاهش مدت تحويل و مقدار سفارش در نظر گرفته شده است. این ساختار برگرفته از مطالعه‌ی پن و همکاران<sup>[۱۸]</sup> است و مفروضات آن عبارت‌اند از:

(الف) مدت تحويل شامل  $n$  جزء است. جزء  $i$  شامل مدت زمان کمینه<sup>(a<sub>i</sub>)</sup>، مدت زمان نرمال<sup>(b<sub>i</sub>)</sup> و هزینه‌ی کاهش<sup>(c<sub>i</sub>)</sup> است. هزینه‌ی کاهش جزء  $i$  در واحد زمان، به صورت تابعی از مدت تحويل کاهش‌یافته و مقدار سفارش است:

$$c_i = x_i + y_i Q \quad (1)$$

که در آن،  $x_i$  هزینه‌ی ثابت کاهش جزء  $i$  در واحد زمان،  $y_i$  هزینه‌ی متغیر کاهش جزء  $i$  در واحد زمان و  $Q$  میزان سفارش کالاست و  $b_i > c_i > x_i > 0$ . اجزاء مدت تحويل را از جزء با کمترین  $c_i$  کاهش می‌دهیم و مقدار هر جزء را از  $a_i$  به  $b_i$  می‌رسانیم.

(ب) بهازی هر دو هزینه‌ی کاهش واحد نظر<sup>(Q<sub>i</sub>)</sup> و  $c_i = x_i + y_i Q$  و  $c_j = x_j + y_j Q$  که در آن  $x_j > x_i$  و  $y_j < y_i$  و  $j \neq i$ ، نقطه‌ی تقاطع<sup>(Q<sub>i</sub>)</sup> وجود دارد به‌طوری که  $c_j = c_i$ . این نقاط تقاطع چنان مرتب می‌شود که  $\dots \leq Q_1^* \leq Q_2^* \leq \dots \leq Q_m^*$  و در آن  $Q_1^* = Q_2^* = \dots = Q_m^* = \infty$  و  $Q_{m+1}^* \leq m \leq n(n-1)/2$  است. برای هر مقدار سفارش در بازه<sup>(Q<sub>i</sub>, Q<sub>i+1</sub>)</sup>،  $c_i$ ها به‌گونه‌ی مرتب می‌شود که  $c_n \leq \dots \leq c_2 \leq c_1$  و اجزای مدت تحويل از جزء با کوچک‌ترین  $c_i$  شروع به کاهش می‌کنند و این روند ادامه دارد.

(ج)  $L$  بیان‌گر مدت تحويل است و دامنه‌ی آن عبارت است از:

$$L_{\min} = \sum_{i=1}^n a_i \leq L \leq \sum_{i=1}^n b_i = L_{\max} \quad (2)$$

و فروش از دست رفته توسعه یافت. برای بهبود مقدار سفارش و نقطه‌ی سفارش مجدد روشی ابتکاری<sup>[۱۲]</sup> ارائه شد که با توسعه‌ی آن برای سیاست مرور پیوسته با اندازه ثابت سفارش و دوره‌یی، مدل تصادفی با ترکیبی از سفارشات تعویق‌افتداده و فروش از دست رفته طرح شد؛ در این مدل «مدت تحويل» و «مقدار سفارش» متغیرهای تصمیم مسئله‌اند.<sup>[۱۳]</sup> در مدل تولید موجودی یکپارچه با یک فروشنده و چند خریدار<sup>[۱۴]</sup> هزینه‌ی کاهش مدت تحويل برای هر خریدار، مختص خودش و تابعی قطعه‌ی خطی از میزان کاهش مدت تحويل است. در بررسی زنجیره‌ی تأمین دوستخطی — شامل یک ابزار و یک توزیع‌کننده<sup>[۱۵]</sup> — مدت تحويل کالا از ابزار به توزیع‌کننده قابل کنترل است و هزینه‌ی کاهش مدت تحويل، تابعی قطعه‌ی خطی از میزان کاهش آن است. برخی از محققین هزینه‌ی کاهش مدت تحويل را تابعی نمایی از مدت تحويل در نظر گرفته‌اند.<sup>[۱۶]</sup> جمشیدی و همکاران<sup>[۱۷]</sup> زنجیره‌ی تأمینی را در نظر گرفته‌اند که در آن مدت تحويل تولیدکنندگان و انبارها را با صرف هزینه می‌توان غییر داد. پریان و اوتاکومار<sup>[۱۸]</sup> مدل کنترل موجودی با سیاست مرور دوره‌یی که در آن مدت تحويل قابل کنترل است برخی از محققین هزینه‌ی کاهش مدت تحويل را سیاست مرور دوره‌یی با سیاست مرور دوره‌یی می‌کنند. در مدل آنها

هزینه‌ی کاهش مدت تحويل در اکثر مقاله‌ها غالباً به عنوان تابعی قطعه‌ی خطی از مدت تحويل کاهش یافته بیان می‌شود. در حالی که هزینه‌ی کاهش مدت تحويل، تنها مربوط به میزان کاهش آن نیست؛ بلکه به مقدار سفارش نیز مربوط می‌شود. این موضوع اولین بار در مطالعه‌ی پن و همکاران<sup>[۲۰]</sup> در نظر گرفته شد. از جمله عوامل تأثیرگذار بر هزینه‌های کاهش مدت تحويل، می‌توان به پرداخت‌های اضافه‌کاری بیشتر یا دستمزدهای کارمندان پاره وقت، هزینه‌های نگهداری بالاتر و روش حمل سریع‌تر و در نتیجه گران‌تر جهت تسریع تحويل سفارش اشاره کرد. بن دایا و هاریجا<sup>[۲۱]</sup> مدل یکپارچه‌یی برای تک فروشنده تک خریدار ارائه دادند که در آن، مدت تحويل تابعی خطی از اندازه سفارش است. چانگ<sup>[۲۲]</sup> ضریب هزینه‌ی کاهش مدت تحويل را به صورت تابعی از اندازه سفارش به همراه هزینه‌ی ڈابسی در نظر گرفته است. ارکان و حجاجی<sup>[۲۳]</sup> زنجیره‌ی تأمین دوستخطی شامل یک فروشنده و یک خریدار را بررسی کردند که در آن هزینه‌ی سفارش دهی و مدت تحويل قابل کنترل در نظر گرفته شده است. در این مقاله هزینه‌ی کاهش مدت تحويل، تابعی از اندازه سفارش در نظر گرفته شده است.

از نمونه‌های کاربردی در حوزه مدت تحويل متغیر می‌توان به مقاله پیرایش و جوانشیر<sup>[۲۵]</sup> اشاره کرد. در این مقاله سه وسیله‌ی حمل در نظر گرفته شده که هرکدام هزینه‌ی تائب، هزینه‌ی متغیر و زمان حمل مختص به خود دارند به‌طوری که با صرف هزینه‌ی بیشتر می‌توان وسیله‌ی حمل سریع‌تر را انتخاب کرد و مدت تحويل را کاهش داد.

اگرچه بعضی محققین این موضوع را تشخیص داده‌اند که مدت تحويل باید به عنوان یکی از متغیرهای تصمیم در مدل در نظر گرفته شود، اما براساس یافته‌های ما تاکنون در هیچ‌یک از مقاله‌های حوزه‌ی کنترل موجودی، مطالعه‌یی که مدت تحويل را به عنوان متغیری قابل کنترل برای کالای فاسدشدنی در نظر بگیرد، صورت نگرفته است. در واقع، در تحقیقات حوزه‌ی فسادپذیر، مدت تحويل را مقداری از پیش تعیین شده و یا برابر صفر در نظر می‌گیرند. درصورتی که این فرض در دنیای واقعی برقرار نیست و می‌توان با صرف هزینه‌یی مدت تحويل را کاهش داد. با دخیل کردن مدت تحويل در مدل سفارش اقتصادی برای کالاهای فاسدشدنی و متغیر در نظر گرفتن

برای محاسبه‌ی میزان کالای دریافتی با در نظر گرفتن شرط  $q = (0) I$  داریم:

$$q = \frac{D}{\theta_1} (e^{\theta_1 T} - 1) \quad (8)$$

### ۲.۳. تابع موجودی مدت تحويل بر حسب زمان

از آنجا که در مدت تحويل، کاهش سطح موجودی صرفاً به دلیل فساد کالا رخ می‌دهد، می‌توان برای به دست آوردن تابع سطح موجودی آن،  $O(t)$ ، از معادله‌ی دیفرانسیلی ۹ استفاده کرد:

$$\frac{dO(t)}{dt} = -\theta_1 O(t); \quad 0 < t \leq L \quad (9)$$

جواب معادله‌ی دیفرانسیلی ۸، با توجه به شرط  $q = O(L)$  عبارت است از:

$$O(t) = q e^{\theta_1 (L-t)}; \quad 0 < t \leq L \quad (10)$$

حال اگر موجودی مدت تحويل را در لحظه‌ی صفر محاسبه کنیم، میزان کالای ارسالی یا همان مقدار سفارش را طبق رابطه‌ی ۱۱ خواهیم داشت:

$$Q = q e^{\theta_1 L} \quad (11)$$

اگر در رابطه‌ی ۱۱ مقدار  $q$  را با معادل آن از رابطه‌ی ۸ جایگذاری کنیم، مقدار سفارش بر حسب پارامترها و متغیرهای تصمیم به صورت رابطه‌ی ۱۲ به دست می‌آید:

$$Q = \frac{D}{\theta_1} e^{\theta_1 L} (e^{\theta_1 T} - 1) \quad (12)$$

### ۳. محاسبه‌ی هزینه‌های کنترل موجودی

#### ۳.۱. هزینه‌ی سفارش دهی

با توجه به این که در هر دوره تنها یک بار عمل سفارش دهی صورت می‌گیرد، مجموع هزینه‌های سفارش دهی در واحد زمان عبارت است از:

$$TC_O = \frac{A}{T} \quad (13)$$

#### ۳.۲. هزینه‌ی خرید

در یک دوره، هزینه‌ی خرید کالا متناسب با تعداد کالاهای سفارش داده شده ( $Q$ ) محاسبه می‌شود. بنابراین مجموع هزینه‌های خرید کالا در واحد زمان مطابق رابطه‌ی ۱۴ محاسبه خواهد شد:

$$TC_p = \frac{CQ}{T} = \frac{CD e^{\theta_1 L} (e^{\theta_1 T} - 1)}{T \theta_1} \quad (14)$$

#### ۳.۳. هزینه‌ی نگهداری

برای محاسبه‌ی هزینه‌ی نگهداری ابتدا باید متوسط سطح موجودی انبار ( $\bar{I}$ ) طی یک دوره سفارش دهی را محاسبه کنیم. بنابراین:

$$\bar{I} = \frac{\int_0^T \frac{D}{\theta_1} (e^{\theta_1 (T-t)} - 1) dt}{T} = \frac{D}{T \theta_1} (e^{\theta_1 T} - \theta_1 T - 1) \quad (15)$$

مجموع هزینه‌های نگهداری در واحد زمان عبارت خواهد بود از:

$$TC_h = \frac{hD}{T \theta_1} (e^{\theta_1 T} - \theta_1 T - 1) \quad (16)$$

د)  $L_i$  مدت تحويلی است که اجراء ۱ تا  $n$  آن به مقدار کمینه‌ی خود کاهش پیدا کرده‌اند. لذا  $L_i$  تبدیل می‌شود به:

$$L_i = L_{\max} - \sum_{j=1}^i (b_j - a_j) \quad (3)$$

ه-) لذا هزینه‌ی کاهش برای یک مدت تحويل ( $L$ ) معین عبارت است از:

$$R(L) = c_i (L_{i-1} - L) + \sum_{j=1}^{i-1} c_j (b_j - a_j); \quad L_i < L \leq L_{i-1} \quad (4)$$

با جایگذاری هزینه‌ی کاهش هر واحد از رابطه‌ی ۴ در رابطه‌ی ۳، هزینه‌ی کاهش برای یک مدت تحويل ( $L$ ) معین عبارت خواهد بود از:

$$R(L, Q) = (x_i + y_i Q) (L_{i-1} - L) + \sum_{j=1}^{i-1} (x_j + y_j Q) (b_j - a_j); \quad L_i < L \leq L_{i-1} \quad (5)$$

### ۲.۲. پارامترها و متغیرهای مسئله

$D$ : نرخ تقاضا (واحد زمان/واحد کالا):

$A$ : هزینه‌ی هر بار سفارش کالا (سفارش/دلار):

$C$ : هزینه‌ی خرید هر واحد کالا (واحد کالا/دلار):

$h$ : هزینه‌ی نگهداری هر واحد کالا در واحد زمان (واحد زمان/واحد کالا/دلار):

$c_d$ : هزینه‌ی فاسدشدن هر واحد کالا (واحد کالا/دلار):

$Q$ : میزان سفارش کالا (واحد کالا):

$q$ : میزان کالای دریافتی در هر بار دریافت (واحد کالا):

$\theta_1$ : ضریب فساد موجودی در انبار ( $0 < \theta_1 < 1$ ):

$\theta_2$ : ضریب فساد موجودی در مدت تحويل ( $0 < \theta_2 < 1$ ):

$L$ : مدت تحويل (واحد زمان) (متغیر تصمیم):

$T$ : طول دوره سفارش دهی (واحد زمان) (متغیر تصمیم):

$R(L)$ : تابع هزینه‌ی کاهش مدت تحويل (سفارش/دلار):

$K_i(L, T)$ : تابع مجموع هزینه‌های موجودی که در آن  $1 < L < L_{i-1} < L < L_i$  (واحد زمان/دلار).

### ۳. مدل‌سازی مسئله

#### ۳.۱. تابع موجودی انبار بر حسب زمان

با توجه به این که موجودی انبار با نرخ  $\theta_1$  فاسد می‌شود و از طرفی با نرخ  $D$  مصرف می‌شود، رابطه‌ی سطح موجودی انبار در طی یک دوره، از معادله‌ی دیفرانسیلی ۶ به دست خواهد آمد:

$$\frac{dI(t)}{dt} = -\theta_1 I(t) - D; \quad 0 < t \leq T \quad (6)$$

بدینهی است در حالت بهینه موجودی انتهای دوره به صفر می‌رسد. لذا، حل معادله‌ی ۶ با در نظر گرفتن شرط  $I(T) = 0$  عبارت است از:

$$I(t) = \frac{D}{\theta_1} (e^{\theta_1 (T-t)} - 1); \quad 0 < t \leq T \quad (7)$$

### ۴.۳.۳. هزینه‌ی فاسد شدن

تابع هدف است. توضیحات مربوط به بررسی تحدب تابع هدف در پیوست الف آمده است. مشتق جزیی نسبت به متغیر  $T$  را برابر صفر قرار می‌دهیم:

$$\frac{\partial K_i(L, T)}{\partial T} = 0 \quad (23)$$

$$D(e^{\theta_1 T}(T\theta_1 - 1) + 1)(h + e^{\theta_1 L}(C + c_d)\theta_1) \\ -(A + De^{\theta_1 T+\theta_1 L}(y_i(L_{i-1} - L) + \sum_{j=1}^{i-1} y_j(b_j - a_j)))\theta_1' = 0 \quad (24)$$

اکنون مشتق جزیی نسبت به متغیر  $L$  را در هر بازه زمانی  $[L_i, L_{i-1}]$  محاسبه می‌کنیم:

$$\frac{\partial K_i(L, T)}{\partial L} = 0 \quad L_i < L \leq L_{i-1} \quad (25)$$

$$\frac{D\theta_1}{T\theta_1}(e^{\theta_1 T} - 1)e^{\theta_1 L}(C + c_d + y_i((L_{i-1} - L) + \theta_1^{-1})) \\ + \sum_{j=1}^{i-1} y_j(b_j - a_j)) - \frac{x_i}{T} = 0 \quad (26)$$

هر مقدار  $T$  و  $L$  که در هر دو رابطه‌ی ۲۴ و ۲۶ صدق کنند، شرط کافی برای بهینگی را دارند. لذا یک دستگاه معادلات غیرخطی داریم و بدلیل پیچیدگی معادلات ۲۴ و ۲۶ دست‌یابی به یک معادله‌ی تک متغیره ممکن نیست. در زیر الگوریتمی برای یافتن نقطه‌ی برخورد مشتق‌های اول تابع، از طریق جستجوی عددی ارائه شود.

### ۴.۱. الگوریتم حل

در این الگوریتم، بهینگی تابع هدف به‌ازای بازه‌های زمانی مختلف مدت تحويل بررسی می‌شوند. در هر بازه به صورت عددی به جستجوی ریشه‌های مشتق‌های اول می‌پردازیم؛ به این صورت که در معادله‌ی ۲۴ مقدار اولیه‌ی به متغیر مدت تحويل تخصیص داده و آن را به معادله‌ی تک متغیره برحسب  $T$  تبدیل می‌کنیم و مقدار بهینه متغیر مجهول  $T$  را در معادله‌ی ۲۶ قرار می‌دهیم و این رویه را تکرار می‌کنیم تا به نقطه‌ی برخورد معادلات ۲۴ و ۲۶ نزدیک شویم. شرط توقف، اختلاف کمتر از ۵٪ بین دو مقدار متواالی متغیر مدت تحويل، یا تکرار بیشتر از  $k$  بار حل معادلات ۲۴ یا ۲۶ است. چنانچه تکرار بیشتر از حد مجاز  $k$  شود، نقاط ابتدا و انتهای بازه ( نقاط شکست ) بررسی می‌شوند. درنهایت کمترین مقدار تابع در بین بازه‌های مختلف به عنوان جواب بهینه و مقادیر متغیرهای تصمیم بهینه آن بازه، به عنوان مقادیر بهینه متغیرهای تصمیم انتخاب می‌شوند. گام‌های این الگوریتم در زیر آمده است.

گام ۱. گام‌های ۱.۱ تا ۱.۱۰ را برای هر بازه  $[L_i, L_{i-1}]$  انجام دهید:

گام ۱.۱. مقادیر  $z$  قرار دهید.

گام ۲.۱. در بازه  $[L_i, L_{i-1}]$  را محاسبه کنید و آن را بنامید.

گام ۳.۱. مقدار  $z$  را یک واحد افزایش دهید.

گام ۴.۱. معادله‌ی ۲۴ را به‌ازای  $(1 - L(j))$  حل کنید و مقدار  $T$  را به دست آورید و آن را  $T(j)$  بنامید.

گام ۵.۱.  $T(j)$  به دست آمده از گام ۴.۱ را در معادله‌ی ۲۶ قرار دهید. مقدار  $L$  را به دست آورید و آن را  $L(j)$  بنامید.

گام ۶.۱. اگر  $k \leq j$  به گام ۷.۱ بروید؛ در غیر این صورت به گام ۹.۱ بروید.

### ۴.۳.۴. هزینه‌ی کاهش مدت تحويل

با جایگذاری اندازه سفارش از رابطه‌ی ۱۱ در رابطه‌ی ۵، هزینه‌ی کاهش مدت تحويل چنین به دست می‌آید:

$$TC_d = \frac{c_d(Q - DT)}{T} = \frac{c_d(De^{\theta_1 L}(e^{\theta_1 T} - 1) - DT\theta_1)}{T\theta_1} \quad (17)$$

$$R(L, T) = (x_i + y_i \frac{D}{\theta_1} e^{\theta_1 L}(e^{\theta_1 T} - 1))(L_{i-1} - L) \\ + \sum_{j=1}^{i-1} (x_j + y_j \frac{D}{\theta_1} e^{\theta_1 L}(e^{\theta_1 T} - 1))(b_j - a_j); \\ L_i < L \leq L_{i-1} \quad (18)$$

لذا هزینه‌ی کاهش مدت تحويل در واحد زمان  $R(L, T)/T$  است.

### ۴.۴. مدل ریاضی مسئله

تابع هدف مسئله شامل مجموع هزینه‌های سفارش دهی، خرید، نگهداری، فساد کالا و هزینه‌ی کاهش مدت تحويل است. به علت قطعه‌ی بدن هزینه‌ی کاهش مدت تحويل، تابع هدف نیز به صورت قطعه‌ی است. برای مقادیر  $n = 1, \dots, i$  داریم:

$$\text{Min } K_i(L, T) = \frac{A}{T} + \frac{CD e^{\theta_1 L}(e^{\theta_1 T} - 1)}{T\theta_1} \\ + \frac{hD}{T\theta_1'}(e^{\theta_1 T} - \theta_1 T - 1) \\ + \frac{c_d(De^{\theta_1 L}(e^{\theta_1 T} - 1) - DT\theta_1)}{T\theta_1} \\ + (x_i + y_i \frac{D}{\theta_1} e^{\theta_1 L}(e^{\theta_1 T} - 1))(L_{i-1} - L) \\ + \sum_{j=1}^{i-1} (x_j + y_j \frac{D}{\theta_1} e^{\theta_1 L}(e^{\theta_1 T} - 1))(b_j - a_j) \quad (19)$$

Subject to:

$$L_i = L_{\max} - \sum_{j=1}^i (b_j - a_j) \quad (20)$$

$$L_i < L \leq L_{i-1} \quad (21)$$

$$T > 0 \quad (22)$$

### ۴. حل مدل

با توجه به این که تابع هدف مسئله یک تابع پیوسته و مشتق‌پذیر نسبت به متغیرهای تصمیم است، از رویکرد مشتق‌گیری برای تعیین جواب بهینه استفاده می‌کنیم. معادلات ۲۴ و ۲۶ شرط لازم برای جواب بهینه است و شرط کافی، محدود بودن

جدول ۱. مقادیر پارامترهای مدت تحویل.

| پارامتر | مقدار   | پارامتر | مقدار         |
|---------|---------|---------|---------------|
| $x_2$   | ۲       | $a_1$   | $\frac{1}{2}$ |
| $y_2$   | ۱۶      | $b_1$   | $0.004$       |
| $a_2$   | $0.4$   | $x_1$   | ۳             |
| $b_2$   | $0.012$ | $y_1$   | $10$          |
| $x_1$   | ۲       | $a_2$   | ۵             |
| $y_1$   | ۱۶      | $b_2$   | $0.0012$      |

جدول ۲. مقادیر سایر پارامترهای مثال.

| پارامتر    | مقدار  |
|------------|--------|
| $D$        | ۶۰۰    |
| $A$        | ۲۰۰    |
| $C$        | ۲۵     |
| $h$        | ۲۰     |
| $c_d$      | ۵      |
| $\theta_1$ | $0.25$ |
| $\theta_2$ | $0.3$  |

گام ۷.۱. اگر  $L(j) - L(j-1) \leq \varepsilon$  بگام ۸.۱ بروید؛ در غیر این صورت به گام ۳.۱ بروید.

گام ۸.۱. اگر  $L_i < L_{i-1} < L(j)$  باشند، مقادیر بهینه را  $T^{opt}_i = T(j)$  و  $L^{opt}_i = L(j)$  قرار دهید و به گام ۹.۱ بروید.

گام ۹.۱. (بررسی نقاط شکست):

گام ۱۰.۱. معادله‌ی ۲۴ را به ازای مقادیر  $L^{opt}_i$  و  $T^{opt}_i$  (در صورت وجود) حل کنید و جواب‌ها را  $T^{opt}_i$  و  $L^{opt}_i$  بنامید.

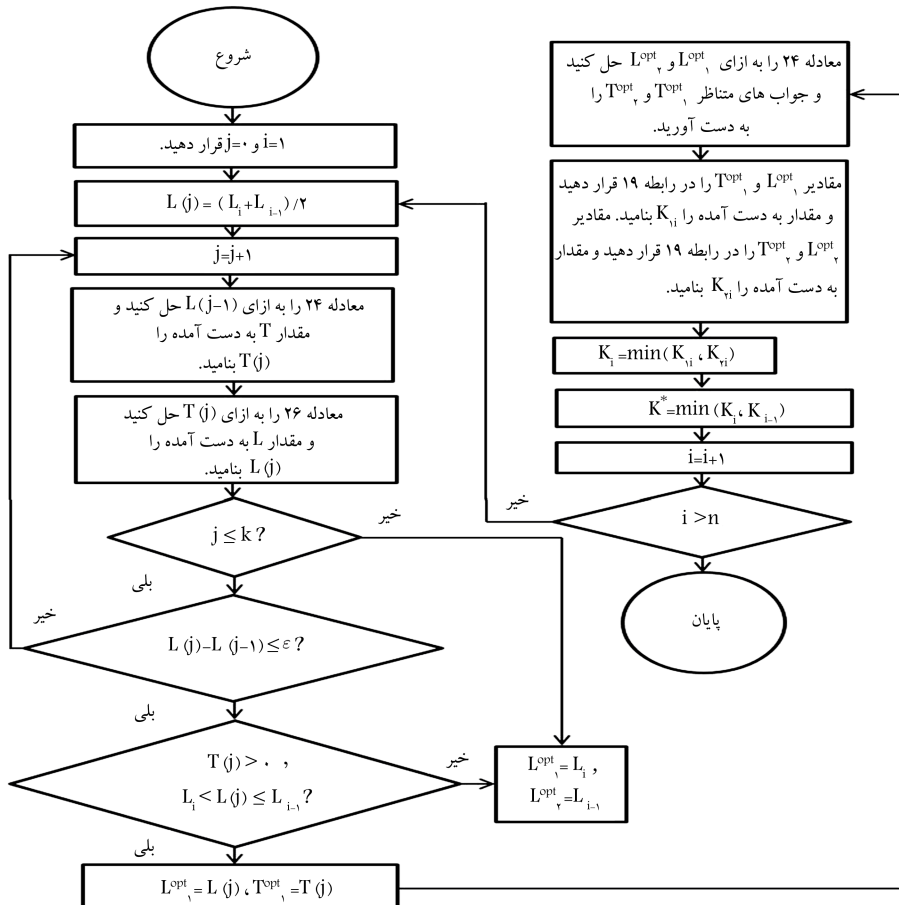
گام ۱۰.۲. برای هر بازه  $[L_i, L_{i-1}]$  مقادیر  $L^{opt}_i$  و  $T^{opt}_i$  مربوطه و  $L^{opt}_2$  و  $T^{opt}_2$  مرتبه را در تابع هدف ۱۹ قرار دهید.

گام ۱۰.۳. درین هزینه‌های حساب شده برای قطعات مختلف، جواب بهینه در بازه‌یی است که کمترین هزینه را داشته باشد.

فلوچارت الگوریتم نیز در شکل ۱ ترسیم شده است.

## ۵. مثال عددی

در این مثال مدت تحویل دارای ۳ جزء در نظر گرفته شده است. مقادیر پارامترهای مربوط به مدت تحویل در جدول ۱ ارائه شده است. مقادیر سایر پارامترهای مثال در جدول ۲ آورده شده است.

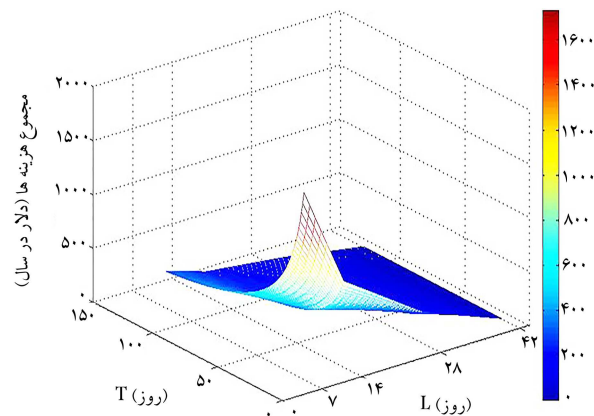


شکل ۱. فلوچارت الگوریتم پیشنهادی.

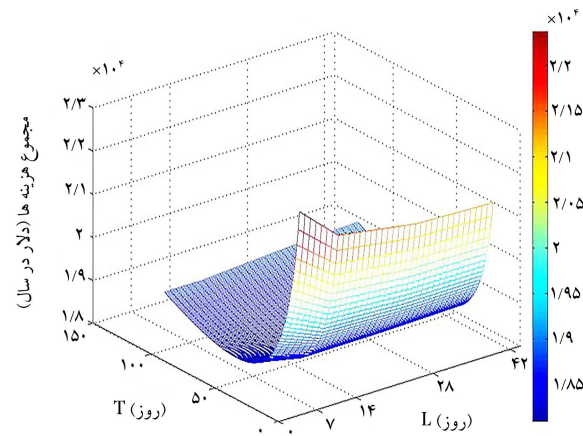
جدول ۳. تأثیر تغییر پارامترها بر مقادیر بهینه متغیرهای تصمیم و مجموع هزینه‌ها.

| <i>K</i> | <i>Q</i> | <i>L</i> | مقدار | پارامتر    |
|----------|----------|----------|-------|------------|
| ۶۷۰۶,۲   | ۵۷       | ۲۸       | ۲۰۰   | <i>D</i>   |
| ۱۲۴۷۹,۹  | ۸۲       | ۱۴       | ۴۰۰   |            |
| ۱۸۰۹۶,۲  | ۱۰۱      | ۱۴       | ۶۰۰   |            |
| ۲۳۶۳۳,۸  | ۱۱۶      | ۱۴       | ۸۰۰   |            |
| ۲۹۱۲۱,۱  | ۱۳۰      | ۱۴       | ۱۰۰۰  |            |
| ۱۷۳۹۲,۶  | ۷۵       | ۱۴       | ۱۰۰   | <i>A</i>   |
| ۱۷۷۶۹,۶  | ۸۹       | ۱۴       | ۱۵۰   |            |
| ۱۸۰۹۶,۲  | ۱۰۱      | ۱۴       | ۲۰۰   |            |
| ۱۸۳۸۸,۵  | ۱۱۲      | ۱۴       | ۲۵۰   |            |
| ۱۸۶۵۵,۷  | ۱۲۱      | ۱۴       | ۳۰۰   |            |
| ۱۷۲۱۱,۴  | ۱۴۹      | ۱۴       | ۵     | <i>h</i>   |
| ۱۷۶۹۶,۱  | ۱۱۸      | ۱۴       | ۱۲,۵  |            |
| ۱۸۰۹۶,۲  | ۱۰۱      | ۱۴       | ۲۰    |            |
| ۱۸۴۴۴,۷  | ۸۹       | ۱۴       | ۲۷,۵  |            |
| ۱۸۷۵۷,۷  | ۸۱       | ۱۴       | ۳۵    |            |
| ۱۱۸۹۶,۲  | ۱۰۲      | ۴۲       | ۱۵    | <i>C</i>   |
| ۱۴۹۹۸,۲  | ۱۰۲      | ۱۴       | ۲۰    |            |
| ۱۸۰۹۶,۲  | ۱۰۱      | ۱۴       | ۲۵    |            |
| ۲۱۱۹۲,۷  | ۹۸       | ۱۴       | ۳۰    |            |
| ۲۴۲۸۷,۹  | ۹۶       | ۱۴       | ۳۵    |            |
| ۱۸۰۱۷,۹  | ۱۰۳      | ۱۴       | ۱     | <i>c_d</i> |
| ۱۸۰۵۷,۲  | ۱۰۲      | ۱۴       | ۳     |            |
| ۱۸۰۹۶,۲  | ۱۰۱      | ۱۴       | ۵     |            |
| ۱۸۱۳۵    | ۱۰۰      | ۱۴       | ۷     |            |
| ۱۸۱۷۳,۵  | ۹۹       | ۱۴       | ۹     |            |
| ۱۷۶۶۰,۱  | ۱۱۲      | ۱۴       | ۰,۰۵  | $\theta_1$ |
| ۱۷۸۴۸    | ۱۰۹      | ۱۴       | ۰,۱   |            |
| ۱۸۰۹۶,۲  | ۱۰۰      | ۱۴       | ۰,۲۵  |            |
| ۱۸۴۶۹,۶  | ۸۹       | ۱۴       | ۰,۵   |            |
| ۱۸۸۰۶,۲  | ۸۱       | ۱۴       | ۰,۷۵  |            |
| ۱۷۵۸۵,۷  | ۹۴       | ۴۲       | ۰     | $\theta_2$ |
| ۱۷۹۰۵,۱  | ۹۵       | ۴۲       | ۰,۱۵  |            |
| ۱۸۰۹۶,۲  | ۱۰۱      | ۱۴       | ۰,۳   |            |
| ۱۸۱۳۲,۱  | ۱۰۱      | ۱۴       | ۰,۳۵  |            |
| ۱۸۳۱۲,۸  | ۱۰۲      | ۱۴       | ۰,۶   |            |

هزینه‌های موجودی با افزایش رو به رو شده است. علت کاهش مقدار کالای ارسالی، جلوگیری از مواجهه با هزینه‌ی نگهداری بیش از حد کالاست. با افزایش هزینه‌ی خرید (*C*)، مقدار کالای ارسالی کاهش یافته، اما مجموع هزینه‌های موجودی افزایش داشته است. علت کاهش در مقدار کالای ارسالی، جلوگیری از مواجهه با هزینه‌ی خرید بالاست.



شکل ۲. نمودار تغییرات هزینه‌ی کاهش مدت تحويل مثال عددی.



شکل ۳. نمودار تغییرات هزینه‌ی کل مثال عددی.

در اجرای الگوریتم ارائه شده در بخش ۱.۴،  $k = ۱۰۰$  و  $\varepsilon = ۰,۰۰۰۵$  فرض شده، و معادلات ۲۴ و ۲۶ با تکمجهول به کمک نرم‌افزار Matlab<sup>®</sup> حل شده است. مقدار بهینه‌ی مدت تحويل ۱۴ روز و مقدار بهینه‌ی طول هر دوره‌ی سفارش دهی ۵۹ روز است. همچنین مجموع هزینه‌های موجودی برابر با ۱۸۰۹۶,۲ واحد پولی خواهد بود. نمودار تغییرات هزینه‌ی کاهش مدت تحويل مربوط به این مثال در شکل ۲ آورده شده است. چنان‌که مشاهده می‌شود با افزایش طول دوره‌ی سفارش دهی، هزینه‌ی کاهش مدت تحويل کاهش می‌یابد. همچنین با کاهش مدت تحويل، هزینه‌ی این کاهش با افزایش رو به رو می‌شود. نکته‌ی قابل توجه در این نمودار، تغییرات ناگهانی هزینه‌ی کاهش مدت تحويل در زمان عبور از نقاط شکست هزینه‌یی (مدت تحويل ۱۴ و ۲۸ روز) است. علت این امر تغییر در ضرایب هزینه‌یی ( $c_i$ ) در هنگام عبور از این نقاط است.

نمودار تغییرات هزینه‌ی کل مربوط به این مثال در شکل ۳ نشان داده شده است. چنان‌که مشاهده می‌شود، نمودار تابع هزینه‌ی کل محدب است و در مدت تحويل ۱۴ روز شکستگی به وضوح دیده می‌شود که ناشی از تأثیر هزینه‌ی کاهش مدت تحويل بر مجموع هزینه‌هاست.

نتایج تحلیل حساسیت روی پارامترهای *D*, *A*, *C*, *h*,  $\theta_1$ ,  $\theta_2$ ,  $c_d$  و  $\varepsilon$  به منظور بررسی تأثیرشان بر جواب بهینه و مجموع هزینه‌ها صورت گرفته و نتایج عددی در جدول ۳ ارائه شده است. با افزایش هزینه‌ی سفارش دهی (*A*) نه تنها مقدار کالای ارسالی افزایش یافته، بلکه مقدار تابع هدف هم روند افزایشی دارد. با افزایش هزینه‌ی نگهداری (*h*), مقدار کالای ارسالی کاهش می‌یابد، اما مجموع

شده است. می‌توان گفت از آنجا که افزایش در این ضرایب باعث افزایش در ضرایب هزینه‌ی کل ( $c_i$ ) می‌شود، بنابراین نمی‌توان انتظار کاهش مدت تحويل را داشت. در دامنه تغییراتی که برای ضرایب هزینه‌ی ثابت ( $x_i$ ) درنظر گرفته شده مدت تحويل نسبت به این تغییرات حساس نیست اما اندازه سفارش افزایش می‌یابد. افزایش اندازه سفارش قبل انتظار است. زیرا با افزایش ضرایب هزینه‌ی ثابت ( $x_i$ ) به نوعی هزینه‌ی سفارش دهی افزایش می‌یابد؛ این افزایش هزینه‌ی منجر به افزایش اندازه سفارش می‌شود.

نتایج تحلیل حساسیت روی ضرایب هزینه‌ی متغیر ( $y_i$ ) در جدول ۵ آورده شده است. می‌توان گفت از آنجا که افزایش در این ضرایب باعث افزایش در ضرایب هزینه‌ی کل ( $c_i$ ) می‌شود، نمی‌توان انتظار کاهش مدت تحويل را داشت. همچنین، در دامنه تغییراتی که برای ضرایب هزینه‌ی متغیر ( $y_i$ ) درنظر گرفته شده جواب بهینه نسبت به این تغییرات حساس نیست. افزایش ضرایب هزینه‌ی متغیر ( $y_i$ ) به نوعی باعث افزایش هزینه‌ی سفارش دهی می‌شود و به تبع انتظار افزایش اندازه سفارش وجود دارد. از سوی دیگر، میزان افزایش ضرایب هزینه‌ی کل ( $c_i$ ) نسبت مستقیم با اندازه سفارش دارد و لذا، افزایش ضرایب هزینه‌ی متغیر کاهش اندازه سفارش را ایجاد می‌کند. ماحصل این روابط، در این تحلیل حساسیت، عدم تغییر در اندازه سفارش است.

جدول ۴ و ۵ نشان می‌دهد که در این مثال مدت تحويل بهینه نسبت به متغیرهای ثابت و متغیر هزینه‌ی کاهش مدت تحويل حساس نیست. تغییرات اندازه سفارش نیز ناچیز است. لذا اگر برآورد دقیق این ضرایب ممکن نباشد می‌توان از برآورد تقریبی آن در تعیین جواب بهینه استفاده کرد.

در حل مثال عددی و تحلیل حساسیت‌های آن زمان حل کمتر از ۱ ثانیه است. از طرفی با توجه به این که الگوریتم حل جواب بهینه را می‌دهد لذا می‌توان گفت الگوریتم از کارایی بالایی برخوردار است.

## ۶. نتیجه‌گیری

در این مقاله مدل مقدار سفارش اقتصادی برای کالای فاسدشدنی ارائه شد که در آن مدت تحويل متغیر در نظر گرفته می‌شود. مدت تحويل به عنوان هزینه‌ی تصمیم وارد مدل شده و بخش هزینه‌ی جدیدی با عنوان هزینه‌ی کاهش مدت تحويل به تابع هدف مسئله افزوده شد. ساختار هزینه‌ی کاهش مدت تحويل به صورت تابعی از اندازه سفارش و میزان کاهش مدت تحويل درنظر گرفته شده است. پس از مدل سازی دقیق، الگوریتم عددی برای حل ارائه شد. نکته‌ی جالب در تحلیل حساسیت‌ها، کاهش میزان کالای ارسالی از جمله افزایش هزینه‌ی کاهش مدت تحويل سفارش در سال را کاهش دهد؛ دست‌یابی به این خواسته، منوط به افزایش مقدار کالای ارسالی است. هرچند افزایش نرخ فساد موجودی در راه موجب افزایش مقدار سفارش کالا می‌شود، اما تا زمانی که تغییری در مدت تحويل سفارش به وجود نیامده باشد، تغییرات مقدار سفارش کالا بسیار ناچیز خواهد بود. می‌توان گفت تنها زمانی تغییر در نرخ فساد موجودی در راه موجب تغییر در مقدار سفارش کالا می‌شود که طی آن تغییر مدت تحويل سفارش نیز تغییر کند. این موضوع در جدول ۳ قابل مشاهده است. با کاهش مدت تحويل از ۴۲ روز به ۱۴ روز، میزان سفارش از ۹۵ واحد به ۱۰۱ واحد تغییر می‌کند و با کاهش مدت تحويل از ۱۴ روز به ۷ روز، میزان سفارش از ۱۰۱ واحد به ۱۰۹ واحد افزایش می‌یابد.

تحلیل ریاضی تابع هدف و کشف خواص آن می‌تواند منجر به ارائه الگوریتم حل کاراتر شود. این امر به دلیل قطعه‌ی و غیرخطی بودن تابع هدف کمی پیچیده است و به عنوان تحقیقات آتی پیشنهاد می‌شود. در تحقیقات آتی می‌توان به تعمیم مسئله به حالات امکان وجود کمیود، محدودیت فضای انبار و محدودیت تعداد سفارشات پرداخت. همچنین می‌توان یکی از توابع فساد پیوسته‌ی رایج نظری و بیول یا خطی را به جای نرخ فساد ثابت استفاده کرد.

جدول ۴. تأثیر تغییر ضرایب هزینه‌ی ثابت بر مقادیر بهینه متغیرهای تصمیم و مجموع هزینه‌ها.

| $x_1$ | $x_2$ | $x_3$ | $L$ | $Q$ | $K$     |
|-------|-------|-------|-----|-----|---------|
| ۰,۲   | ۰,۶   | ۲,۵   | ۱۴  | ۹۷  | ۱۸۰۰۸,۶ |
| ۰,۳   | ۰,۹   | ۳,۷۵  | ۱۴  | ۹۸  | ۱۸۰۴۴   |
| ۰,۴   | ۱,۲   | ۵     | ۱۴  | ۱۰۱ | ۱۸۰۹۶,۲ |
| ۰,۵   | ۱,۵   | ۶,۲۵  | ۱۴  | ۱۰۱ | ۱۸۱۱۳,۳ |
| ۰,۶   | ۱,۸   | ۷,۵   | ۱۴  | ۱۰۲ | ۱۸۱۴۷,۳ |

جدول ۵. تأثیر تغییر ضرایب هزینه‌ی متغیر بر مقادیر بهینه متغیرهای تصمیم و مجموع هزینه‌ها.

| $y_1$ | $y_2$ | $y_3$  | $L$ | $Q$ | $K$     |
|-------|-------|--------|-----|-----|---------|
| ۰,۰۰۶ | ۰,۰۰۲ | ۰,۰۰۰۶ | ۱۴  | ۱۰۱ | ۱۸۰۰۹,۵ |
| ۰,۰۰۹ | ۰,۰۰۳ | ۰,۰۰۰۹ | ۱۴  | ۱۰۱ | ۱۸۰۶۱,۵ |
| ۰,۰۱۲ | ۰,۰۰۴ | ۰,۰۰۱۲ | ۱۴  | ۱۰۱ | ۱۸۰۹۶,۲ |
| ۰,۰۱۵ | ۰,۰۰۵ | ۰,۰۰۱۵ | ۱۴  | ۱۰۱ | ۱۸۱۶۶,۹ |
| ۰,۰۱۸ | ۰,۰۰۶ | ۰,۰۰۱۸ | ۱۴  | ۱۰۱ | ۱۸۲۰۱,۶ |

با افزایش هزینه‌ی فساد ( $c_d$ )، مقدار کالای ارسالی کاهش یافته است؛ علت آن است که هرچه متوسط سطح موجودی کمتر باشد، تعداد کالاهای فاسد شده و به دنبال آن هزینه‌ی فساد کالا کاهش خواهد یافت. در این مدل به منظور کاهش تعداد کالاهای فاسد شده، نرخ فساد موجودی انبار (۰۱) چنان است که مدل خود را به سمت کاهش میزان کالای ارسالی سوق دهد. همچنین زمانی که نرخ فساد افزایش یابد، مجموع هزینه‌های موجودی نیز با افزایش رو به رو می‌شود.

با افزایش نرخ فساد موجودی در راه (۰۲) مدت تحويل سفارش با کاهش رو به رو می‌شود که علت آن جلوگیری از فساد بیش از حد کالا در مدت تحويل است و کاهش مدت تحويل، به منزله افزایش هزینه‌ی افزایش هزینه‌ی کاهش مدت تحويل است. بنابراین مدل برای مواجه نشدن با هزینه‌ی بالا، باید تعداد دفعات سفارش در سال را کاهش دهد؛ دست‌یابی به این خواسته، منوط به افزایش مقدار کالای ارسالی سفارش کالا می‌شود، اما تا زمانی که تغییری در مدت تحويل سفارش به وجود نیامده باشد، تغییرات مقدار سفارش کالا بسیار ناچیز خواهد بود. می‌توان گفت تنها زمانی تغییر در نرخ فساد موجودی در راه موجب تغییر در مقدار سفارش کالا می‌شود که طی آن تغییر مدت تحويل سفارش نیز تغییر کند. این موضوع در جدول ۳ قابل مشاهده است. با کاهش مدت تحويل از ۴۲ روز به ۱۴ روز، میزان سفارش از ۹۵ واحد به ۱۰۱ واحد تغییر می‌کند و با کاهش مدت تحويل از ۱۴ روز به ۷ روز، میزان سفارش از ۱۰۱ واحد به ۱۰۹ واحد افزایش می‌یابد.

نتایج تحلیل حساسیت روی ضرایب هزینه‌ی ثابت ( $y_i$ ) در جدول ۴ آورده

## (References) منابع

1. Ghare P. and Schrader, G. "A model for exponentially decaying inventory", *Journal of Industrial Engineering*, **14**, pp. 238-243 (1963).
2. Tersine, R.J. and Barman, S. "Economic purchasing strategies for temporary price discounts", *European Journal of Operational Research*, **80**, pp. 328-343 (1995).
3. Covert, R.P. and Philip, G.C. "An EOQ model for items with Weibull distribution deterioration", *AIEE Transactions*, **5**, pp. 323-326 (1973).
4. Tadikamalla, P.R. "An EOQ inventory model for items with gamma distributed deterioration", *AIEE Transactions*, **10**, pp. 100-103 (1978).
5. Chang, H. and Dye, C. "An EOQ model for deteriorating items with time varying demand and partial backlogging", *Journal of the Operational Research Society*, **50**, pp. 1176-1182 (1999).
6. Sanni, S. and Chukwu, W. "An Economic order quantity model for Items with three-parameter Weibull distribution deterioration, ramp-type demand and shortages", *Applied Mathematical Modelling*, **37**, pp. 9698-9706 (2013).
7. Sicilia, J., González-De-la-Rosa, M. Febles-Acosta, J. and Alcaide-López-de-Pablo, D. "An inventory model for deteriorating items with shortages and time-varying demand", *International Journal of Production Economics*, **155**, pp. 155-162 (2014).
8. Bakker, M., Riezebos, J. and Teunter, R.H. 'Review of inventory systems with deterioration since 2001", *European Journal of Operational Research*, **221**, pp. 275-284 (2012).
9. Liao C.-J. and Shyu, C.-H. "An analytical determination of lead time with normal demand", *International Journal of Operations & Production Management*, **11**, pp. 72-78 (1991).
10. Ben-Daya, M. and Raouf, A. "Inventory models involving lead time as a decision variable", *Journal of the Operational Research Society*, **45**(5), pp. 579-582 (1994).
11. Ouyang, L.-Y. and Wu, K.-S. "Mixture inventory model with backorders and lost sales for variable lead time", *Journal of the Operational Research Society*, **47**, pp. 833-838 (1996).
12. Moon, I. and Choi, S. "Technical notea note on lead time and distributional assumptions in continuous review inventory models", *Computers & Operations Research*, **25**, pp. 1007-1012 (1998).
13. Hariga, M. and Ben-Daya, M. "Some stochastic inventory models with deterministic variable lead time", *European Journal of Operational Research*, **113**, pp. 42-51 (1999).
14. Jha, J. and Shanker, K. "Single-vendor multi-buyer integrated production-inventory model with controllable lead time and service level constraints", *Applied Mathematical Modelling*, **37**, pp. 1753-1767 (2013).
15. Priyan, S. and Uthayakumar, R. "Two-echelon multi-product multi-constraint product returns inventory model with permissible delay in payments and variable lead time", *Journal of Manufacturing Systems*, **36**, pp. 244-262 (2015).
16. Priyan, S. and Uthayakumar, R. "Economic design of multi-echelon inventory system with variable lead time and service level constraint in a fuzzy cost environment", *Fuzzy Information and Engineering*, **8**, pp. 465-511 (2016).
17. Moon, I., Shin, E. and Sarkar, B. "Min—max distribution free continuous-review model with a service level constraint and variable lead time", *Applied Mathematics and Computation*, **229**, pp. 310-315 (2014).
18. Jamshidi, R., Fatemi Ghomi, S.M.T. and Karimi, B. "Flexible supply chain optimization with controllable lead time and shipping option", *Applied Soft Computing*, **30**, pp. 26-35 (2015).
19. Priyan, S. and Uthayakumar, R. "Continuous review inventory model with controllable lead time,lost sales rate and order processing cost when the receivedquantity is uncertain", *Journal of Manufacturing Systems*, **34**, pp. 23-33 (2015).
20. Soni, H.-N and Joshi, M. "A periodic review inventory model with controllable lead time and backorder rate in fuzzy-stochastic environment", *Fuzzy Information and Engineering*, **7**, pp. 101-114 (2015).
21. Pan, J., Hsiao, Y.-C. and Lee, C.-J. "Inventory models with fixed and variable lead time crash costs considerations", *Journal of the Operational Research Society*, **53**, pp. 1048-1053 (2002).
22. Ben-Daya, M. and Hariga, M. "Integrated single vendor single buyer model with stochastic demand and variable lead time", *International Journal of Production Economics*, **92**, pp. 75-80 (2004).
23. Chang, C.-T. "A linearization approach for inventory models with variable lead time", *International Journal of Production Economics*, **96**, pp. 263-272 (2005).
24. Arkan, A. and Hejazi, S.R. "Coordinating orders in a two echelon supply chain with controllable lead time and ordering cost using the credit period", *Computers & Industrial Engineering*, **62**, pp. 56-69 (2012).
25. Pirayesh, M. and Javanshir, R. "Introducing inventory replenishment policy and determining optimal order quantity and optimal vehicle type in critical situation; Case Study: Iran Khodro Khorasan", *Production and Operations Management*, **2**, pp. 57-72 (in persian) (2013).

## پیوست الف

از آنجایی که تابع هدف بر اساس دو متغیر  $L$  و  $T$  است، برای اثبات تحدب این تابع از ماتریس هشین به صورت زیر استفاده می‌کنیم:

$$H = \begin{bmatrix} \frac{\partial^r K_i}{\partial T^r} & \frac{\partial^r K_i}{\partial L \cdot \partial T} \\ \frac{\partial^r K_i}{\partial L \cdot \partial T} & \frac{\partial^r K_i}{\partial L^r} \end{bmatrix} \quad i = 1, \dots, n$$

شرط محدب بودن تابع هدف، مشبّت بودن عنصر سطر اول و ستون اول ماتریس هشین  $(\frac{\partial^r K_i}{\partial T^r})$  و همچنین مشبّت شدن دترمینان این ماتریس است. دترمینان این ماتریس نیز به صورت زیر تعریف می‌شود:

$$\det(H) = \frac{\partial^r K_i}{\partial T^r} * \frac{\partial^r K_i}{\partial L^r} - \left[ \frac{\partial^r K_i}{\partial L \cdot \partial T} \right]^2$$

درایه‌های ماتریس هشین برای تابع هدف از قرار زیر هستند:

$$\begin{aligned} \frac{\partial^r K_i}{\partial T^r} &= \frac{D e^{\theta_1 T}}{T} (h + e^{\theta_1 L} (C + c_d) \theta_1) \left( \frac{-2}{T \theta_1} + 1 \right) \\ &\quad - \frac{D}{T^r} e^{\theta_1 T + \theta_1 L} (y_i(L_{i-1} - L)) \\ &\quad + \sum_{j=1}^{i-1} y_j(b_j - a_j) \left( \theta_1 - \frac{2}{T} \right) - \frac{2A}{T^r} \end{aligned}$$